

УДК 537.86

## МНОГОЗЕРКАЛЬНЫЕ КВАЗИЦИЛИНДРИЧЕСКИЕ РЕЗОНАТОРЫ ДЛЯ ГИРОТРОНОВ С ПЕРЕСТРОЙКОЙ ЧАСТОТЫ

*М. А. Хозин, Г. Г. Денисов, С. В. Кузиков, А. Б. Павельев*

Институт прикладной физики РАН, г. Нижний Новгород, Россия

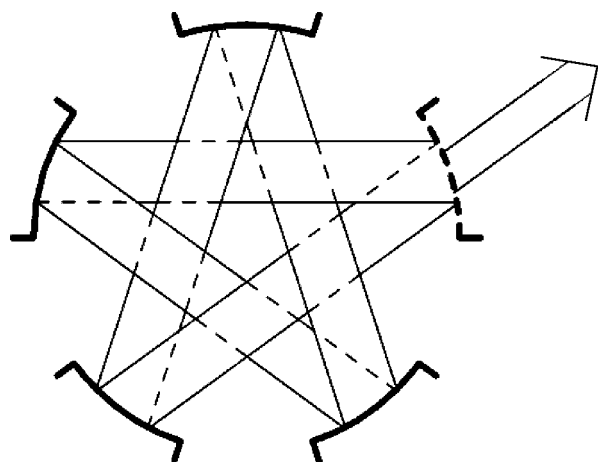
В статье рассматривается возможность создания гиротронов с плавной механической перестройкой частоты на основе многозеркальных квазиоптических резонаторов. Решена двумерная задача нахождения собственных мод для относящегося к этому типу открытого квазицилиндрического резонатора. Также проведена оценка основанного на нём гиротрона — коэффициента полезного действия и стартового тока.

### ВВЕДЕНИЕ

Для ряда приложений, таких как спектроскопия, диагностика и мониторинг различных сред, динамическая поляризация ядер и др., требуются плавно перестраиваемые по частоте источники электромагнитного излучения субмиллиметрового диапазона длин волн [1, 2]. В качестве перспективных приборов такого типа рассматриваются гиротроны небольшой по сравнению с гиротронами для управляемого термоядерного синтеза мощности, лежащей в пределах  $10 \div 1\,000$  Вт.

В гиротроне с резонатором в виде отрезка круглого волновода возможность перестройки частоты выходного излучения  $f$  ограничена узкой полосой резонанса  $\Delta f$ , составляющей доли процента от  $f$ :  $\Delta f/f \sim 1/Q$ , где типичная добротность резонатора гиротрона  $Q$  составляет величину порядка  $10^3$ . Плавная перестройка частоты выходного излучения в более широком диапазоне возможна при механическом изменении геометрии резонатора. Например, это может быть сделано в коаксиальном гиротроне за счёт продольного перемещения внутреннего соосного проводника переменного радиуса [3, 4].

Рис. 1. Лучевая структура моды пятизеркального гиротрона в его поперечном сечении. Стрелкой показано направление вывода излучения



В данной работе рассмотрен гиротрон с многозеркальным резонатором, который позволяет перестраивать частоту излучения путём изменения относительного расположения зеркал. Однако, азимутальная неоднородность рабочей моды приводит к снижению коэффициента полезного действия (КПД) и повышению стартового тока. По этой причине двухзеркальные гиротроны не нашли применения в установках управляемого термоядерного синтеза. Однако многозеркальная, конкретно, пятизеркальная, система обеспечивает приемлемую однородность поля. Кроме того, для задач спектроскопии КПД и стартовый ток не являются такими важными параметрами, как для мощных гиротронов, применяемых в установках управляемого термоядерного синтеза.

Вывод излучения многозеркального гиротрона может осуществляться как классически, так и через одно из зеркал за счёт его полупрозрачности (рис. 1). В этом случае на концах резонатора

организуется запредельное для рабочей моды сужение, снижающее её дифракционные потери. Излучение рабочей моды в щель резонатора может быть уменьшено с помощью слабой деформации его границы [5]. В настоящей работе этот круг задач решается в двумерном приближении для используемых в гиротронах ТЕ мод.

## 1. ПОЛЕ В СЛАБО ДЕФОРМИРОВАННОМ ЦИЛИНДРИЧЕСКОМ РЕЗОНАТОРЕ

При малой по сравнению с длиной волны  $\lambda$  деформации границы  $l \ll \lambda/2$  для поперечной задачи можно поставить эквивалентные граничные условия на невозмущённой круглой границе (рис. 2) [6]:

$$(\mathbf{E}, \boldsymbol{\tau}) = ik(\ln, \mathbf{H}, \boldsymbol{\tau}) + (\boldsymbol{\tau} \nabla)(\mathbf{E}, \ln), \quad (1)$$

где  $k = 2\pi/\lambda$  — волновое число,  $\mathbf{E}$  и  $\mathbf{H}$  — электрическое и магнитное поля соответственно. В полярных координатах  $r, \phi$  уравнение поверхности может быть представлено как  $r = r_w + \delta(\phi)$ , где  $\delta = -l$ ,  $r_w$  — радиус невозмущённой поверхности, т. е. круглого цилиндра. ТЕ-волны могут быть описаны с помощью магнитной функции Герца  $\Pi$ , при этом магнитный вектор Герца  $\mathbf{\Pi}^m = \text{Pe}_z$ . Эквивалентное граничное условие (1), записанное для магнитной функции Герца  $\Pi$ , принимает вид

$$\frac{\partial \Pi}{\partial \mathbf{n}} + g^2 \delta(\phi) \Pi - \frac{1}{r_w^2} \frac{\partial}{\partial \phi} \left( \delta(\phi) \frac{\partial \Pi}{\partial \phi} \right) = 0, \quad (2)$$

где  $g$  — поперечное волновое число.

Любое возмущение формы стенки резонатора может быть разложено в ряд Фурье  $\delta(\phi) = \sum_m a_m \exp(im\phi)$ ,  $a_m = a_{-m}^*$ , а поле представлено в виде ряда  $\Pi = \sum_m \Pi_m = \sum_m C_m J_m(gr) \times \exp(im\phi)$ , где  $J_m$  — функция Бесселя порядка  $m$ . Подставляя это разложение в граничное условие (2), получим неявное выражение для коэффициентов  $C_m$ :

$$C_m = - \frac{g \sum_n \left( 1 + \frac{m^2 - mn}{\nu_w^2} \right) a_n C_{m-n} J_{m-n}(\nu_w)}{J'_m(\nu_w)}, \quad \nu_w = gr_w. \quad (3)$$

Выражение (3) содержит резонансный знаменатель, обращающийся в ноль при парциальных колебаниях невозмущённой системы. Если лучевая структура моды  $\Pi_m$  примерно повторит своё положение после  $N$  отражений, где  $N$  — небольшое целое число, то парциальные частоты мод  $\Pi_m$ ,  $\Pi_{m-N}$  и  $\Pi_{m+N}$  будут близки [7], что обеспечит их сильную связь в системе (3). Корни уравнения  $J'_{mq}(\nu_{mq}) = 0$ , где  $J'_{mq}$  означает производную от функции Бесселя по её аргументу, для больших радиального и азимутального индексов  $q \gg 1$ ,  $m \gg 1$ , согласно асимптотике Дебая, определяются соотношением

$$\nu_{mq} \sin \psi = m\psi + \pi(q - 3/4), \quad (4)$$

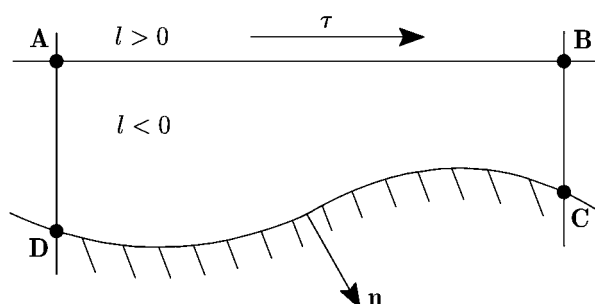


Рис. 2. Приближённые граничные условия на невозмущённой поверхности. Здесь  $l$  — расстояние между возмущённой и невозмущённой границей, так что  $l > 0$  при сужении резонатора и  $l < 0$  при его расширении,  $\mathbf{n}$  — внутренняя по отношению к металлу нормаль к поверхности;  $\boldsymbol{\tau}$  — единичный вектор, касательный к невозмущённой поверхности

где угол  $\psi$  определяется из соотношения  $\sin \psi = \sqrt{1 - m^2/\nu_w^2} = \sqrt{1 - r_c^2/r_w^2}$  и равен половине угла между двумя последовательными отражениями луча в геометрическом представлении моды,  $r_c$  — радиус каустики. Лучевая структура будет замкнутой при условии  $\psi = \pi n/N$ , где  $n = 1, \dots, [N/2], [N/2]$  — целая часть  $N/2$ . При  $n = [N/2] = s$  для нечётного  $N$  структура моды представляет собой  $N$ -конечную звезду. Уравнение (4) связывает радиальный и азимутальный индексы моды. Если потребовать замкнутость геометрической структуры лучей, т. е. выполнение равенства  $\psi = \psi_s = \pi(N-1)/(2N)$ , то уравнение (4) можно рассматривать как уравнение на радиальный индекс  $\tilde{q}$ :  $(\text{tg } \psi_s - \psi_s) m/\pi + 3/4 = \tilde{q}$ . При этом найденное  $\tilde{q}$  не будет целым. Его отличие от ближайшего целого радиального индекса  $q$  составит  $\delta q = \tilde{q} - q, q = [\tilde{q} + 0,5]$ . Незамкнутость геометрической структуры лучей определяется разностью  $\Delta\psi = \psi - \psi_s$ . Критерием отбора мод является малость углового отклонения луча от замкнутой траектории, что обеспечивает лучшую добротность при прорезании щелей:

$$2N |\Delta\psi| = \frac{2N\pi |\delta q|}{m \text{tg}^2 \psi_s} \ll \frac{\pi}{N}. \tag{5}$$

Для  $N = 5$  подходящей лучевой структурой обладают моды  $\text{TE}_{16,10}, \text{TE}_{28,17}$  и  $\text{TE}_{35,21}$ .

### 1.1 Трёхволновая структура поля

При  $r_w = (2\pi)^{-1} \int r(\phi) d\phi$  коэффициент  $a_0 = 0$ . Для  $N$ -зеркального резонатора с одинаковыми зеркалами можно переобозначить  $a_{mN} = A_m$  и, соответственно,  $a_{-mN} = A_m^*$ . Как отмечено выше, в случае квазизамкнутой структуры моды  $\Pi_m$  сильно связанными оказываются лишь три парциальных моды, так что можно ограничиться рассмотрением трёхволновой структуры поля:  $\Pi = C_- J_{m-N}(gr) + C_m J_m(gr) + C_+ J_{m+N}(gr)$ . Здесь коэффициенты  $C_-, C_m, C_+$  для  $N$ -зеркального резонатора с одинаковыми зеркалами находятся из системы (3)

$$\begin{pmatrix} J'_{m-N}/g & A_1^* \left[ 1 + \frac{m^2 - mN}{\nu_w^2} \right] J_m & A_2^* \left[ 1 + \frac{m^2 - N^2}{\nu_w^2} \right] J_{m+N} \\ A_1 \left[ 1 + \frac{m^2 - mN}{\nu_w^2} \right] J_{m-N} & J'_m/g & A_1^* \left[ 1 + \frac{m^2 + mN}{\nu_w^2} \right] J_{m+N} \\ A_2 \left[ 1 + \frac{m^2 - N^2}{\nu_w^2} \right] J_{m-N} & A_1 \left[ 1 + \frac{m^2 + mN}{\nu_w^2} \right] J_m & J'_{m+N}/g \end{pmatrix} \begin{pmatrix} C_- \\ C_m \\ C_+ \end{pmatrix} = 0. \tag{6}$$

Для гармонического возмущения границы  $\delta(\phi) = \delta \cos(N\phi) = \delta[\exp(iN\phi) + \exp(-iN\phi)]/2$  коэффициенты уравнения (6)  $A_1 = \delta/2, A_2 = 0$ . Уравнение на собственные числа (6) преобразуется к виду

$$J'_{m-N} J'_m J'_{m+N} - \frac{\varepsilon^2}{4\nu_w^2} \left\{ [\nu_w^2 + m^2 + mN]^2 J'_{m-N} J_m J_{m+N} + [\nu_w^2 + m^2 - mN]^2 J_{m-N} J_m J'_{m+N} \right\} = 0, \tag{7}$$

где  $\varepsilon = \delta/r_w$  — безразмерная амплитуда деформации границы. Уравнения (6), (7) позволяют найти амплитуды парциальных мод в разложении нормальной моды:

$$\frac{C_-}{C_m} = \frac{\varepsilon [\nu_w^2 + m^2 - mN] J_m(\nu_w)}{2\nu_w J'_{m-N}(\nu_w)}, \quad \frac{C_+}{C_m} = \frac{\varepsilon [\nu_w^2 + m^2 + mN] J_m(\nu_w)}{2\nu_w J'_{m+N}(\nu_w)}, \tag{8}$$

а также нормальные частоты (рис. 3). Можно предложить следующую интерпретацию получаемых таким образом результатов: высокочастотная мода занимает положение в участке сужения резонатора, что приводит к ещё большему увеличению её частоты, т. е. точки отражения в лучевом представлении структуры моды «сжимаются» к суженному участку стенки волновода, тогда как низкочастотная мода, наоборот, старается занять расширенные участки волновода, т. к. «не убирается» в более узких местах (рис. 4). Прорезание щелей на расширенных участках волновода мало искажает структуру высокочастотной моды, но сильно меняет пространственные распределения полей низкочастотной и средней по частоте мод, значительно снижая при этом их добротность.

Энергетическая норма моды может быть найдена как

$$P = \int_{\Sigma} |\Pi|^2 d\Sigma = \int_{-\pi}^{\pi} \int_0^{\nu_{mq}} |\Pi(\nu, \phi)|^2 \nu d\nu d\phi,$$

где  $\Sigma$  — поперечное сечение волновода. Для мод невозмущённой задачи этот интеграл является табличным, норма равна  $P_{mq} = \pi (\nu_{mq}^2 - m^2) J_m^2(\nu_{mq})$ , и все моды взаимно ортогональны. С учётом асимптотики Дебая  $J_m^2(\nu_{mq}) \approx 2/(\pi \nu_{mq} \sin \psi)$ ,  $\psi = \text{Arccos}(m/\nu_{mq})$ , откуда  $P_{mq} \approx 2 \sqrt{\nu_{mq}^2 - m^2}$ . Для слабо деформированного резонатора норма колебания приобретает вид

$$P \approx (|C_-|^2 + |C_m|^2 + |C_+|^2) 2 \sqrt{\nu_w^2 - m^2}. \quad (9)$$

## 2. МАТРИЧНОЕ УРАВНЕНИЕ ДЛЯ КВАЗИКРУГЛОЙ ЦИЛИНДРИЧЕСКОЙ СИСТЕМЫ

Если известно поле на стенках резонатора, т. е. зеркалах, то по принципу Гюйгенса—Кирхгофа оно может быть пересчитано в любую другую точку. Требование повторения поля на стенках резонатора является условием на собственные колебания. Этот метод хорошо разработан для двухзеркальных систем [8]. Квазикруглое расположение зеркал обладает рядом особенностей.

При описании распространения пучка в квазикруглой системе естественным является разложение по цилиндрическим функциям [9, 10]. Поле на стенке может быть представлено как сумма падающей  $\Pi^+$  и отражённой  $\Pi^-$  волн, а угол падения пучка на стенку, т. е. угол между падающим лучом и нормалью к ней равен  $\gamma = \pi/2 - \psi$ . Поставим условия отражения на невозмущённой границе круглого волновода  $r = r_w$ . Полагая величину возмущения  $\delta(\phi)$  малой в единицах длин волн, можно пренебречь смещением луча и описывать только изменение фазы. Для ТЕ волн условие отражения на идеально проводящей поверхности имеет вид

$$\frac{d}{dr} [\exp(-i\Delta(\phi))\Pi^- + \exp(i\Delta(\phi))\Pi^+] = 0, \quad (10)$$

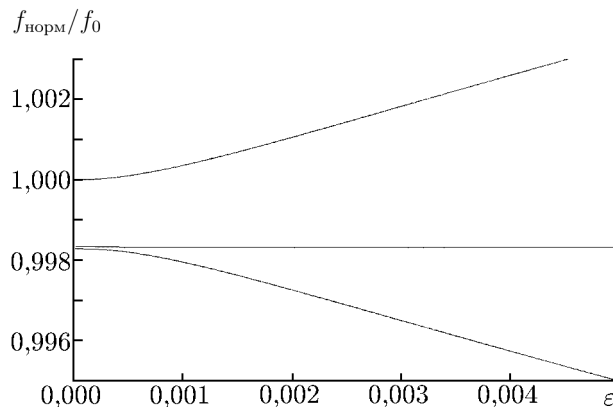


Рис. 3. Отношение  $f_{\text{норм}}/f_0$  нормальных частот колебаний к парциальной частоте  $f_0$  моды  $\text{TE}_{28,17}$  невозмущённого резонатора в зависимости от величины  $\varepsilon$  модуляции стенки резонатора

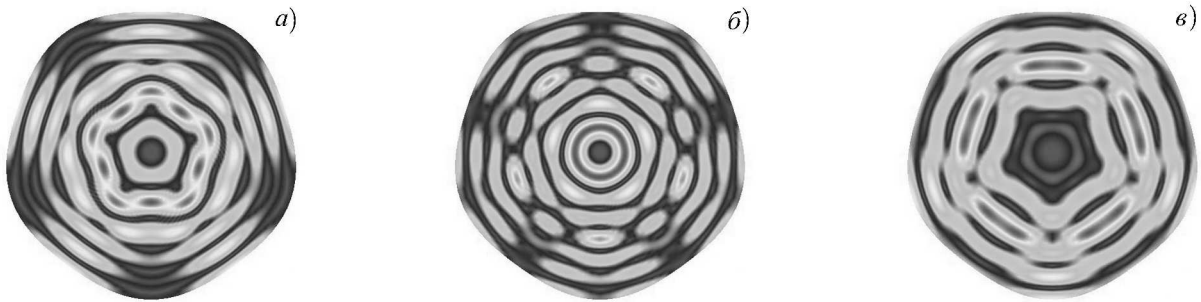


Рис. 4. Структура поля при модуляции стенки резонатора с  $\varepsilon = 0,025$ : (а) — высокочастотная мода  $TE_{8,5}$ , (б) — центральная по частоте мода  $TE_{3,7}$ , (в) — низкочастотная мода  $TE_{13,3}$

где  $\Delta = g\delta(\phi) \cos \gamma = \delta(\phi) \sqrt{\nu_w^2 - m^2} / r_w$  — набег фазы между невозмущённой границей и реальной стенкой. Найденное из (10) значение амплитуды отражённой волны должно быть умножено на фактор отражения  $R(\phi)$ , который равен единице для металла и нулю для щели.

Полное поле в резонаторе может быть представлено как

$$\Pi(r, \phi) = \sum_m C_m J_m(gr) \exp(im\phi). \tag{11}$$

В разложении (11) можно выделить падающие (расходящиеся) и отражённые (сходящиеся) компоненты — функции Ханкеля первого и второго рода соответственно. Для этого необходимо найти оператор пересчёта поля  $\hat{L}$ :  $\{C_m\} \rightarrow \{\overline{C_m}\}$ , где  $\{C_m\}$  — коэффициенты разложения поля до отражения, а  $\{\overline{C_m}\}$  — после отражения, т. е. после применения оператора отражения  $\hat{L}$ . Подставляя разложение (11) в условие отражения (10), находим

$$\sum_m H_m^{(2)'}(\nu_w) \overline{C_m} \exp(im\phi) = -R(\phi) \exp[2i\Delta(\phi)] \sum_m H_m^{(1)'}(\nu_w) C_m \exp(im\phi). \tag{12}$$

В матричном представлении оператор  $\hat{L}$  имеет вид

$$L_{mn} = - \sum_q C_q^R C_{m-n-q}^G \frac{H_n^{(1)'}(g'r_w)}{H_m^{(2)'}(g'r_w)}, \tag{13}$$

где  $g = g' + ig''$ ,  $R(\phi) = \sum_m C_m^R \exp(im\phi)$ ,  $G(\phi) = \exp[2i\Delta(\phi)] = \sum_m C_m^G \exp(im\phi)$ . Таким образом, задача о собственных модах свелась к поиску собственных векторов матричного оператора.  $\hat{L}C = pC$ , где  $C$  — вектор-столбец коэффициентов разложения (11) поля по цилиндрическим функциям, а  $p$  — собственное число оператора  $\hat{L}$ .

Мода круглого волновода подчиняется условию квантования  $gL - 2m\psi - \pi/2 = 2\pi(q - 1)$ , получаемого из геометриоптического рассмотрения [5]. Найдя собственное значение  $p$  оператора  $\hat{L}$ , можно получить уточнённое значение поперечного волнового числа [11]

$$g' = \frac{1}{r_w \sin \psi} \left[ \pi(q - 1) + m\psi + \frac{\pi}{4} + \frac{1}{2} \arg p \right], \quad g'' = - \frac{\ln |p|}{2r_w \sin \psi}. \tag{14}$$

Добротность колебания равна

$$Q = - \frac{\pi(q - 1) + m\psi + \pi/4 + (\arg p)/2}{\ln |p|} \simeq - \frac{\nu_w \sin \psi}{\ln |p|}. \tag{15}$$

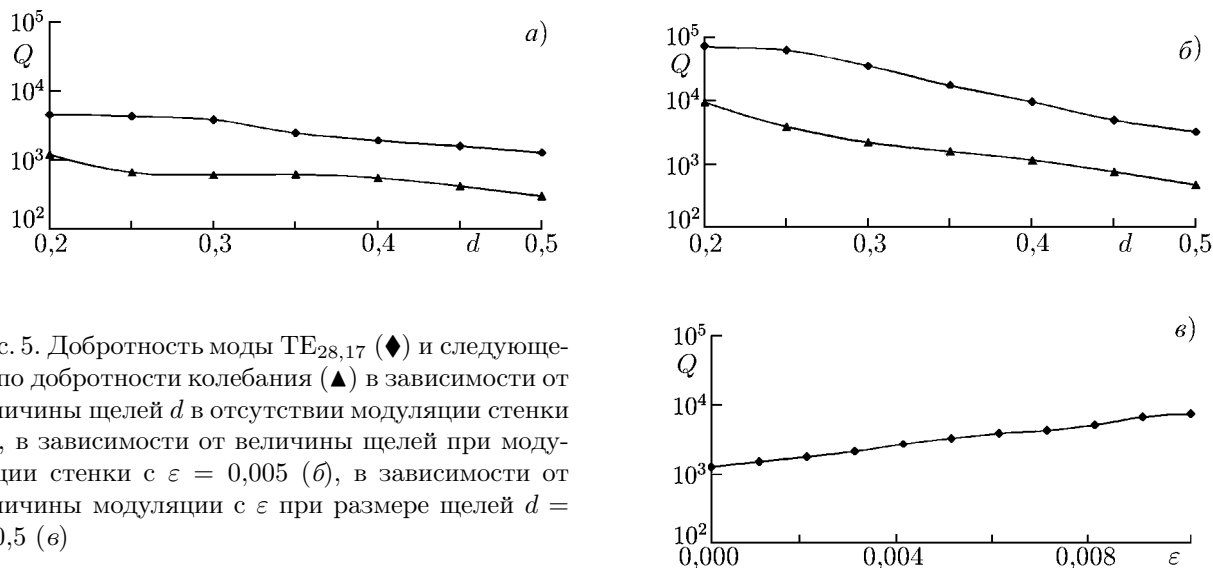


Рис. 5. Добротность моды TE<sub>28,17</sub> (◆) и следующего по добротности колебания (▲) в зависимости от величины щелей  $d$  в отсутствии модуляции стенки (а), в зависимости от величины щелей при модуляции стенки с  $\varepsilon = 0,005$  (б), в зависимости от величины модуляции с  $\varepsilon$  при размере щелей  $d = 0,5$  (в)

### 2.1. Построение численного решения

Собственные значения оператора таковы, что  $|p| < 1$ . Наиболее добротное колебание может быть найдено итерационным методом с использованием начального условия  $C_m^{(0)} = 1, C_{n \neq m}^{(0)} = 0$  и нормировки  $\sum_m |C_m|^2 = 1$ . Для линейного оператора  $\hat{\mathbf{L}}$  пересчёта поля вводится нелинейный оператор  $\hat{\mathbf{T}}$  с помощью условия  $\hat{\mathbf{T}}C = \hat{\mathbf{L}}C / \|\hat{\mathbf{L}}C\|$ . Все последовательные приближения  $C^{(n)} = \hat{\mathbf{T}}^n C^{(0)}$  нормированы. Поиск заканчивается при  $|(\hat{\mathbf{T}}C^{(n)}, C^{(n)})| > 1 - \tilde{\alpha}$ , так что конечное  $p^{(n)} = (\hat{\mathbf{L}}C^{(n)}, C^{(n)})$ . Выполнение этого условия означает, что в найденном приближении  $C^{(n)}$  содержится не менее чем  $1 - \tilde{\alpha}$  части собственной моды открытого резонатора. Тот же порядок точности имеет нахождение собственного значения.

Зная структуру наиболее добротного колебания  $C^I$  и его собственное значение  $p_1$  можно найти второе по добротности колебание. Оператор проецирования на ортогональное подпространство определяется как  $\hat{\mathbf{P}}C = C - (C, C^I)C^I$ . Оператор  $\hat{\mathbf{L}} = \hat{\mathbf{P}}\hat{\mathbf{L}}\hat{\mathbf{P}}$  действует в ортогональном подпространстве, и проведённая для него итерационная процедура позволяет найти собственную функцию  $\tilde{C}^{II}$  с наибольшим по модулю собственным значением  $p_2$ :  $\hat{\mathbf{L}}\tilde{C}^{II} = p_2\tilde{C}^{II}$ . Собственная функция исходного оператора  $\hat{\mathbf{L}}$  имеет то же собственное значение  $p_2$  и может быть выражена как  $C^{II} = \tilde{C}^{II} - (\hat{\mathbf{L}}\tilde{C}^{II}, C^I)C^I / (p_1 - p_2)$ .

### 2.2. Численные результаты

Метод матричного уравнения позволяет найти частоту, добротность и структуру собственных колебаний. В частности, он был применён для моды TE<sub>28,17</sub>, обладающей хорошей замкнутостью лучей. Добротность рабочей моды значительно превосходит добротности остальных колебаний (рис. 5). Подбор параметров зеркал может увеличить добротность. Он может заключаться, например, в изменении радиуса кривизны зеркал по сравнению с радиусом резонатора  $r/r_w = 1/(1 - N^2\varepsilon)$ . Можно ожидать, что, как в двухзеркальной системе, добротность будет максимальной при  $r = 2r_w$ , т. е. в случае конфокальной системы.

На рис. 6 представлены структуры двух наиболее добротных мод резонатора с немодулированной границей и отношением угловой величины щели к угловой величине периода (щель и зеркало)  $d = 0,5$ . Добротности этих мод составляют  $Q_1 = 1287$  и  $Q_2 = 298$  соответственно.

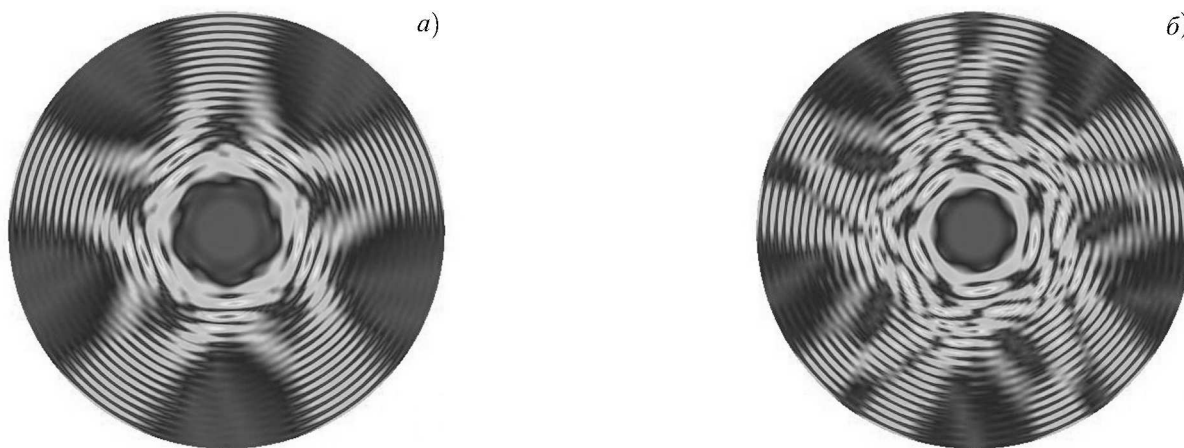


Рис. 6. Структуры поля двух наиболее добротных и близких по частоте колебаний: (а) мода  $TE_{28,17}$ , (б) ближайшее по частоте колебание. Наиболее добротное колебание (а) имеет хорошо выраженную структуру пятиконечной звезды

### 3. КПД И СТАРТОВЫЙ ТОК

Известно, что двухзеркальные системы, которые уже рассматривались ранее в качестве возможных кандидатов на роль резонаторов частотно-перестраиваемых гиротронов [12–14], страдают весьма серьезным недостатком, который, в частности, и ограничивает их широкое практическое применение. Неоптимальная поперечная структура высокочастотного (ВЧ) поля в таких резонаторах обуславливает заметное снижение КПД генерации и значительный рост стартовых и рабочих токов. Поэтому предлагаемое в данной работе увеличение количества зеркал, несмотря на очевидное усложнение конструкции, представляется вполне оправданным. Как это следует из предыдущих разделов, помимо улучшения условий для селекции рабочей моды, в многозеркальных системах пространственное распределение поля в окрестности электронного пучка оказывается существенно ближе к структуре поля в традиционных гиротронных резонаторах (см. рис. 4, 6) и является более оптимальной для обеспечения наилучшего взаимодействия с аксиально-симметричным электронным потоком сравнительно большого диаметра. Поскольку в исследуемых многозеркальных резонаторах предполагается сохранение высокой добротности рабочего типа колебаний, а в некоторых вариантах возможно даже её повышение, сравнительный анализ основных параметров взаимодействия электронов с рабочей модой для простоты проводился на основе теории гиротрона с фиксированной гауссовой продольной структурой поля с введением необходимых поправок, учитывающих азимутальную неоднородность ВЧ излучения по периметру электронного пучка. В частности, при оценке КПД использовалась известная процедура, изложенная в [15]. При этом приняты обычные для подобных оценок ограничения: рассматривается слаборелятивистский моноэнергетический и моноскоростной электронный пучок и предполагается, что влияние поля пространственного заряда и разброс радиусов ведущих центров электронных орбит пренебрежимо малы.

#### 3.1. Используемые уравнения и соотношения

Продольная компонента магнитного поля рабочей ТЕ-моды в многозеркальной системе может быть представлена в виде

$$H = A \left[ J_m(gr) \exp(im\phi) + \sum_{q \neq m} a_q J_q(gr) \exp(iq\phi) \right] f(z). \quad (16)$$

Здесь  $A$  — амплитуда основной пространственной гармоники с азимутальным индексом  $m$ ,  $a_q = A_q/A$  — относительные амплитуды остальных гармоник с азимутальными индексами  $q \neq m$ , участвующих в формировании поперечной структуры поля многозеркального резонатора,  $f(z) = \exp(-4z^2/L^2)$  — аппроксимированное гауссовой функцией продольное распределение ВЧ поля,  $L$  — длина резонатора. Соответственно, синхронная с  $n$ -ой гармоникой циклотронного вращения электронов составляющая поля на электронной орбите, см., например, [16], также будет включать в себя ряд азимутальных гармоник:

$$H_n \sim A \left[ J_{m-n}(gr_0) \exp[i(m-n)\phi] + \sum_{q \neq m} a_q J_{q-n}(gr_0) \exp[i(q-n)\phi] \right] f(z), \quad (17)$$

где  $r_0, \phi$  — координаты ведущих центров электронных орбит, положительные  $n$  соответствуют попутному с электронами вращению фазы поля, а отрицательные — противоположному. Тогда укороченное уравнение движения электронов (см., например, формулу (1) в [15]) можно записать в скорректированном виде:

$$\frac{da}{d\zeta} - \frac{i}{n} (\Delta + |a|^2 - 1) a = ia^{*n-1} F \Psi_n f(\zeta), \quad (18)$$

где  $a = \sqrt{w} \exp(-i\vartheta/n)$ ,  $w$  и  $\vartheta$  — соответственно безразмерные энергия и фаза вращательного движения электронов в поле  $\mathbf{H}_0$ ,  $n$  — номер гармоники гирочастоты, на которой происходит резонансное взаимодействие пучка с полем резонатора,  $\zeta = \pi\beta_{\perp}^2 z / (\beta_{\parallel} \lambda)$  — безразмерная продольная координата,  $\beta_{\perp}$  и  $\beta_{\parallel}$  — соответственно отношение поперечной и продольной компонент скорости электрона к скорости света  $c$ ,  $\lambda$  — длина волны,  $f(\zeta)$  — продольная структура поля,  $\mu = \pi\beta_{\perp}^2 L / (\beta_{\parallel} \lambda)$  — параметр, пропорциональный длине резонатора,

$$\Delta = \frac{2}{\beta_{\perp}^2} \left[ 1 - \frac{n\omega_{H_0}}{\omega} \left( 1 - \frac{\beta_{\perp}^2}{2} - \frac{\beta_{\parallel}^2}{2} \right) \right]$$

— безразмерная расстройка между частотой рабочего типа колебаний  $\omega$  и резонансной гармоникой гирочастоты,  $\omega_{H_0}$  — нерелятивистская гирочастота электрона, функция

$$\Psi_n = 1 + \frac{1}{J_{m-n}(gr_0)} \sum_{q \neq m} a_q J_{q-n}(gr_0) \exp[i(q-m)\phi]$$

учитывает азимутальную неоднородность ВЧ поля на электронном пучке. Величина  $F$  в данном случае определяет безразмерную действующую амплитуду поля основной  $m$ -ой азимутальной гармоники,  $F \sim A J_{m-n}(gr_0)$ , и определяется формулой, которая может быть найдена, например, в [15]. Остальные входящие в (18) величины определены также в строгом соответствии с [15], и это соответствие сохраняется в дальнейшем изложении для всех величин, за исключением вновь вводимых, которые будут специально пояснены. Следуя [15], оценка эффективности взаимодействия сводится к интегрированию уравнений движения электронов (18) с определёнными начальными условиями и вычислению поперечного электронного КПД с помощью формулы

$$\eta_{\perp} = 1 - \frac{1}{4\pi^2} \int_0^{2\pi} \int_0^{2\pi} |a(\zeta_{\text{вых}})|^2 d\theta_0 d\phi. \quad (19)$$

В отличие от [15], в (19) усреднение энергии электронов на выходе из резонатора проводится как по их начальной фазе влета в пространство взаимодействия, так и по азимутальной координате

ведущих центров электронных орбит. В режиме стационарной генерации амплитуда  $F$  связана с током электронного пучка  $I$  соотношением баланса активных мощностей (ср. с формулой (3) в [15]):

$$\frac{\eta_{\perp}}{\alpha F^2} I_0 \mu^{2(n-3)} = 1. \tag{20}$$

Здесь  $I_0 \sim IQJ_{m-n}^2(gr_0)/[(\nu_w^2 - m^2) J_m^2(\nu_w)]$  — определённый в [15] безразмерный параметр тока, записанный в данном случае для основной  $m$ -ой азимутальной гармоники поля. Коэффициент  $\alpha$  отражает изменение энергетической нормы  $N \sim (1/A^2) \int_V |H|^2 dV$ , где  $dV$  — элемент объёма, собственных колебаний многозеркального резонатора по сравнению с нормой вращающейся моды с азимутальным индексом  $m$  в традиционном круглом резонаторе. Учитывая приведённые к формуле (9) значения нормы  $N_m \sim (\nu_w^2 - m^2) J_m^2(\nu_w)$ , колебания с различными азимутальными индексами в круглом волноводе строго ортогональны. Очевидно, что при высокой добротности рабочих колебаний, т. е. при малых потерях в щелях, и неглубокой относительно среднего радиуса многозеркальной системы деформации поверхности зеркал для грубых оценок параметров рассматриваемых резонаторов можно полагать  $N \approx \alpha N_m$ , где

$$\alpha = 1 + \frac{1}{(\nu_w^2 - m^2) J_m^2(\nu_w)} \sum_{q \neq m} |a_q|^2 (\nu_w^2 - l^2) J_q^2(\nu_w) \tag{21}$$

— отношение нормы рабочей моды (16), которая равна сумме норм её компонент, к норме моды с азимутальным индексом  $m$ .

Стартовый режим в гиротроне реализуется, если уравнение энергетического баланса (20) удовлетворяется при нулевой амплитуде ВЧ поля:

$$\frac{I_0 \mu^{2(n-3)}}{\alpha} \lim_{F \rightarrow 0} \frac{\eta_{\perp}}{F^2} = 1.$$

Величину  $\lim_{F \rightarrow 0} (\eta_{\perp}/F^2) = \beta_n \sigma'_{\text{лин}}$  нетрудно получить, если для определения КПД использовать решение линеаризованного по  $F$  укороченного уравнения движения электронов (18). В результате находим

$$\beta_n = \frac{1}{2\pi} \int_0^{2\pi} |\Psi_n|^2 d\phi = 1 + \frac{1}{J_{m-n}^2(gr_0)} \sum_{q \neq m} |a_q^2| J_{q-n}^2(gr_0),$$

а  $\sigma'_{\text{лин}}$ , являющаяся активной составляющей линейной проводимости пучка по отношению к ВЧ полю, определено выражением

$$\begin{aligned} \sigma'_{\text{лин}} = & -2n \operatorname{Re} \int_{\zeta_{\text{вх}}}^{\zeta_{\text{вых}}} f^*(\zeta) \exp(i\Delta\zeta) \left\{ \int_{\zeta_{\text{вх}}}^{\zeta} f(\zeta') \exp(-i\Delta\zeta') d\zeta' + \right. \\ & \left. + \frac{i}{n} \int_{\zeta_{\text{вх}}}^{\zeta} \int_{\zeta_{\text{вх}}}^{\zeta'} f(\zeta'') \exp(-i\Delta\zeta'') d\zeta'' d\zeta' \right\} d\zeta = - \left( n + \frac{\partial}{\partial \Delta} \right) \left| \int_{\zeta_{\text{вх}}}^{\zeta_{\text{вых}}} f^*(\zeta) \exp(i\Delta\zeta) d\zeta \right|^2. \end{aligned} \tag{22}$$

Таким образом, стартовое условие для многозеркального резонатора принимает вид (ср. с [15]):

$$\frac{\beta_n}{\alpha} \sigma'_{\text{лин}} I_{0\text{st}} \mu^{2(n-3)} = 1. \tag{23}$$

Тогда, с учётом выражения для  $I_0$ , отношение минимального стартового тока  $I_{\text{st min}}$  в такой системе к минимальному стартовому току круглого резонатора  $I_{\text{st 00}}$ , в котором возбуждается

вращающаяся попутно с электронами мода с добротностью  $Q_{00}$ , соответствующая основной азимутальной гармонике многозеркального резонатора, будет определяться соотношением:

$$\frac{I_{\text{st min}}}{I_{\text{st 00}}} \approx \frac{\alpha}{\beta_n} \frac{Q_{00}}{Q} \frac{J_{m-n}^2(\nu_{m-n,1})}{J_{m-n}^2(\nu_w r_0/r_w)}. \quad (24)$$

Здесь  $Q$  — добротность рабочего колебания многозеркальной системы,  $\nu_{m-n,1}$  — первый корень уравнения  $J'_{m-n}(\nu) = 0$ , а  $r_{0\text{opt}} = \nu_{m-n,1} r_w / \nu_w$  соответствует оптимальному введению электронного пучка в резонатор при возбуждении вращающейся моды.

### 3.2. Результаты численного анализа

Для сравнительной оценки основных параметров пятизеркальных резонаторов при определении структуры поля для простоты использовались результаты, полученные в разделе 1.1, т. е. трёхволновое приближение для цилиндрического резонатора со слабой азимутально-периодической деформацией поверхности. При определённых условиях, когда реализуется глубокая модуляция поля на стенке волновода, и на соответствующих участках могут быть безболезненно прорезаны щели, найденные решения хорошо моделируют ситуацию в поперечном сечении многозеркального резонатора и дают представление о характере поля в области электронного потока. Приведённые ниже оценки проводились для наглядности в предположении равенства добротностей исследуемого резонатора и резонатора сравнения с  $Q = Q_{00}$ . Безразмерная длина резонатора  $\mu = 15$  выбрана близкой к оптимальной с точки зрения обеспечения максимального КПД. Как и в [15], интегрирование уравнений движения электронов проводилось на участке, ограниченном спаданием ВЧ поля в  $\exp(3)$  раз.

На рис. 7 представлена зависимость относительных величин стартовых токов двух нормальных высокодобротных колебаний  $\text{TE}_{28,17}^{(\pm)}$  пятизеркального резонатора от относительного радиуса введения электронов  $r_0/r_w$ . Эти колебания имеют одинаковые амплитудные распределения поля и одинаковые добротности и отличаются только направлением вращения фазы. Поскольку, как было показано выше, прочие близкие по частоте колебания в рассматриваемой системе обладают сравнительно низкой добротностью, именно однотипные моды с противоположными направлениями вращения поля могут эффективно конкурировать друг с другом. Так, например, на рис. 7 видно, что при изменении среднего радиуса резонатора  $r_w$ , когда параметр  $r_0/r_w \in [0,31; 0,35]$  преимущество по возбуждению имеет колебание  $\text{TE}_{28,17}^{(-)}$ , фаза которого бежит в попутном с электронами направлении. При неизменном радиусе электронного пучка указанный интервал соответствует полосе частотной перестройки  $\delta f \approx 12\%$ . Дальнейшее изменение радиуса  $r_w$  может привести к срыву колебаний на идентичную моду  $\text{TE}_{28,17}^{(+)}$  с противоположным вращением. Из рис. 7 также следует, что минимум стартового тока  $I_{\text{st min}}^{(\mp)}/I_{\text{st 00}} \approx 1,4$  достигается при радиусе электронного пучка близком к оптимальному  $r_{00}^{(\mp)}$  для одноименной вращающейся моды круглого резонатора. При достаточно широкой полосе перестройки частоты, когда  $\delta f \sim 10\%$ , относительная величина стартового тока  $I_{\text{st min}}/I_{\text{st 00}}$  не превышает 2.

В приведённом примере сильная модуляция поля на боковой поверхности резонатора реализуется при глубине деформации стенки  $\varepsilon \approx 0,006$ . При этом нормальная мода наряду с основной пространственной гармоникой  $\text{TE}_{28,17}$  включает в себя две дополнительные гармоники  $\text{TE}_{23,19}$  и  $\text{TE}_{33,15}$  с амплитудами  $a_{23} \approx -0,66221$  и  $a_{33} \approx -0,56213$  соответственно.

На рис. 8 показаны предельно достижимые КПД генерации, а также относительные величины оптимальных рабочих токов для моды  $\text{TE}_{28,17}^{(-)}$  исследуемого пятизеркального резонатора во

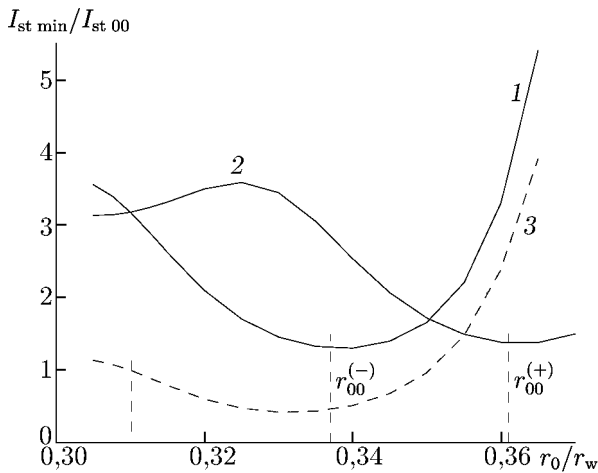


Рис. 7. Зависимость минимальных стартовых токов  $I_{st\ min}$  от относительного радиуса ввода электронного пучка для мод  $TE_{28,17}^{(\mp)}$  ( $TE_{28,17}^-$  — кривая 1,  $TE_{28,17}^+$  — кривая 2) в закрытом резонаторе с азимутально-периодической деформацией боковой поверхности при  $\epsilon \approx 0,006$ . Также показано отношение  $I_{st\ min}^{(-)} / I_{st\ min}^{(+)}$  (кривая 3).  $I_{st\ 00}$  — стартовый ток невозмущенного резонатора,  $r_w$  — его средний радиус

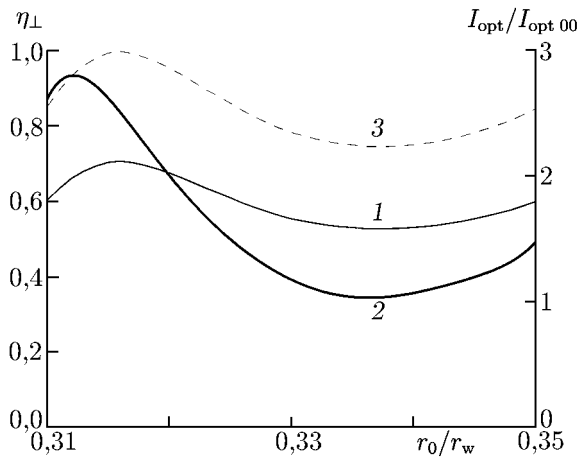


Рис. 8. Зависимость КПД (кривая 1) и нормированного оптимального рабочего тока  $I_{opt} / I_{opt\ 00}$  (кривая 2) от относительного радиуса ввода электронов для моды  $TE_{28,17}^{(-)}$ .  $I_{opt\ 00}$  — оптимальный по КПД ток для круглого резонатора. Также показано отношение  $\eta_{\perp}^{(-)} / \eta_{\perp\ 00}$  (кривая 3)

всей полосе её селективного самовозбуждения. Пунктирная линия изображает зависимость отношения КПД данного резонатора к КПД невозмущенной системы. Вблизи левого края полосы перестройки частот, когда  $R_0 / R_w \approx 0,315$ , КПД достигает максимума и совпадает с КПД круглого резонатора. При таком относительном радиусе электронного пучка модуляция поля по его периметру практически отсутствует, что и позволяет реализовать высокий КПД, но слабая связь электронов с полем из-за его малой амплитуды обуславливает рост стартовых и рабочих токов. При оптимальной величине параметра  $r_0 / r_w \approx 0,34$  усреднённое значение квадрата амплитуды ВЧ поля в области электронного пучка максимально, что соответствует минимуму стартового и рабочего токов. Однако, из-за сильной модуляции поля по азимуту, наблюдается снижение КПД генерации примерно до уровня 0,75 по сравнению с КПД традиционного резонатора.

Таким образом, в пятизеркальных резонансных системах азимутальная неоднородность ВЧ поля не приводит к катастрофическому снижению КПД генерации и нарастанию стартовых и рабочих токов. Приемлемые рабочие параметры сохраняются в достаточно широкой полосе частот, достигающей 10% от центральной частоты.

#### 4. ЗАКЛЮЧЕНИЕ

В работе проведено предварительное исследование открытых в поперечном сечении резонаторов для гиротронов с перестройкой частоты рабочей моды. Собственные моды резонатора исследовались методом возмущений для закрытой системы и методом интегрального уравнения, являющимся модификацией метода Фокса—Ли для цилиндрических систем, для резонатора с прорезанными в продольном направлении щелями. Проведена оценка наиболее важных параметров взаимодействия электронного пучка с рабочей модой.

Найден широкий класс резонаторов, обладающих высокой поперечной дифракционной доб-

ротностью и в то же время высокой селективностью по сравнению с закрытыми системами. Это позволяет дать оптимистичную оценку возможности создания гиротрона с широкополосной перестройкой частоты на основе квазиоптических резонаторов.

### СПИСОК ЛИТЕРАТУРЫ

1. Bratman V., Bandurkin I., Dumesh B., et al. // AIP Conf. Proc. 2006. V. 807. P. 356.
2. Idehara T., Mitsudo S., Sabchevski S., et al. // Int. J. Vacuum. 2001. V. 62, No. 2–3. P. 123.
3. Dumbrajs O., Möbius A. // Int. J. Electron. 1998. V. 84, No. 4. P. 411.
4. Глявин М. Ю., Лучинин А. Г., Морозкин М. В., Хижняк В. И. // Изв. вузов. Радиофизика. 2008. Т. 51, № 1. С. 63.
5. Вайнштейн Л. А. Открытые резонаторы и открытые волноводы. М.: Сов. радио, 1966. 475 с.
6. Каценеленбаум Б. З. Теория нерегулярных волноводов с медленно-меняющимися параметрами. М.: АН СССР, 1961. 216 с.
7. Богдашов А. А., Денисов Г. Г. // Изв. вузов. Радиофизика. 2004. Т. 47, № 4. С. 319.
8. Fox A. G., Li T. // Bell System Techn. J. 1961. V. 40, No. 2. P. 453.
9. Goubau G., Schwering F. // IEEE Trans. Microwave Theory and Techniques. 1968. V. 13, No. 6. P. 749.
10. Kuzikov S. V. // Int. J. Infrared Millimeter Waves. 1997. V. 18, No. 5. P. 1001.
11. Авербах В. С., Власов С. Н., Таланов В. И. // Изв. вузов. Радиофизика. 1967. Т. 10, № 9–10. С. 1333.
12. Антаков И. И., Власов С. Н., Гинцбург В. А. и др. // Электронная техника. Сер. 1. 1975. № 8. С. 20.
13. Brand G. F. // Charter in infrared and millimeter waves. New York: Academic Press, 1985. V. 14. P. 371.
14. Hogge J. P., Tran T. M., Paris P. J., Tran M. Q. // Phys. Plasmas. 1996. V. 3, No. 9. P. 3492.
15. Нусинович Г. С., Эрм Р. Э. // Электронная техника., Сер. 1. 1972. № 8. С. 55.
16. Юлпатов В. К. // Гиротрон. Горький: ИПФ АН СССР, 1981. С. 26.

Поступила в редакцию 23 июля 2009 г.; принята в печать 16 февраля 2010 г.

### MULTI-MIRROR QUASI-CYLINDRICAL RESONATORS FOR FREQUENCY-TUNABLE GYROTRONS

*M. A. Khozin, G. G. Denisov, S. V. Kuzikov, and A. B. Pavelyev*

We consider the possibility to create a gyrotron with smooth mechanical frequency tuning on the basis of multi-mirror quasi-optical resonators. The two-dimensional problem of finding eigenmodes for the open quasi-cylindrical resonator cavity belonging to this type is solved. Parameters of the gyrotron based on such a device, namely, its efficiency and starting current, were evaluated.